

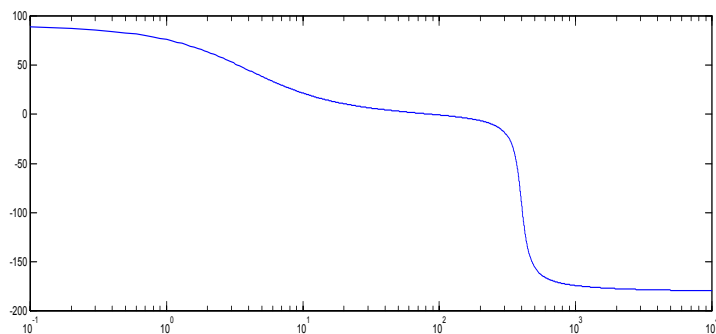
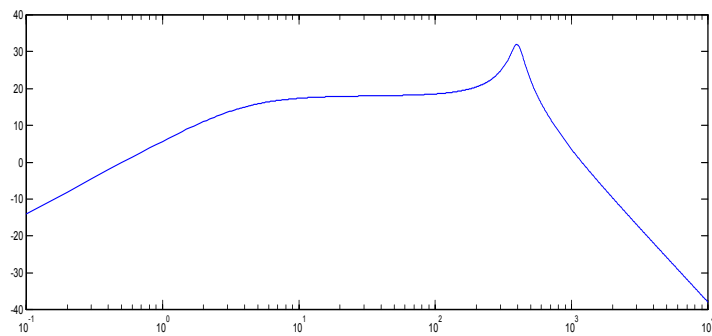


NVD
Rit

Resonansrásir og filter

Yvirføringsfunctiónir - nøkur dømi

Magnus Danielsen



ERRITGERÐ
Theme

TØKNIFRÁGREIÐING
Technical Report

UNDIRVÍSINGARTILFAR
Teaching Material

UPPRIT
Notes

NVDRit 2006:05

Heiti / Title **Resonansrásir og filter**
Yvirføringsfunktióinir - nøkur dømi

Høvundur / Author Magnus Danielsen

Ritslag / Report Type *Undirvísingartilfar/Teaching Material*

NVDRit 2006:05

© Náttúruvísindadeildin og høvundurin

ISSN 1601-9741

Útgevvari / Publisher Náttúruvísindadeildin, Fróðskaparsetur Føroya

Bústaður / Address Nóatún 3, FO 100 Tórshavn, Føroyar (Faroe Islands)

Postrúm / P.O. box 2109, FO 165 Argir, Føroyar (Faroe Islands)

] • ☎ • @ +298 352550 • +298 352551 • nvd@setur.fo

Abstract

English:

This compendium contains a basic treatment of some instances of resonance circuits, filtre synthesis and analysis. Examples of 1st order active filters illustrate the five principle type of filters: low-pass, high-pass, band-stop, band-pass, and all-pass filters, using transimpedance coupled operational amplifiers as active component.

Keywords:

resonance, filtre, circuit, electronics, operaional amplifier, transfer function, amplitude characteristics, phase characteristics

Føroyskt:

Hesin bóklingur inniheldur eina grundleggjandi við gerð av nøkrum dómum um resonansrásir, filter syntesu og filter greining. Dømi um 1.ordans aktiv filter við brúk av transimpedans koblðu operatiónsstyrkjaram sýna tey fimm høvuðssløgini av filterum: lágpas-, hápas-, bandstop-, bandpass- og “all-pass”filter.

Lyklaorð:

resonans, filter, streymrás, elektronikkur, operatiónsstyrkjari, yvirføringsfunktiön, amplitudukarakteristikkur, fasukarakteristikkur

Innihaldsyvirlit

Abstract	síða	3
1 Inngangur		5
2 Resonansrásir		7
2.1 Serioresonansrásin og parallellresonansrásin		7
2.2 Transient sveiggj í resonansrásum		10
2.3 Umrokning av tapsmótstöðu í reaktansi millum seriu og parallellmótstöðu		13
2.4 Tapsfaktorar í resonansrás		14
2.5 Resonansrásir í nýtslu		16
3 Yvirføringsfunctiónir – syntesa		18
3.1 Syntesa við stöði í amplitudukarakteristikki og fasukarakteristikki		18
4 Lágpassfiltur		21
5 Hápassfiltur		23
6 Bandstoppfiltur		25
7 Bandpassfiltur		25
8 Allpassfiltur		28

1. Inngangur

Elektrisk frekvensfiltr er týðandi partur (komponentur) í hópi av elektriskum skipanum. Tað er torført at nevna nakra elektroniska skipan, har filtrur ikki á ein ella annan hátt verður brúkt ella myndar eina týðningarmikla funktión. Hesin bóklingur viðger nøkur dømi um filtrur við serligum denti á resonansrásir, syntesu og nýtslu av operatiónsstyrkjarum til aktiv filtrur. Til systematiska gjøgnumgongd av almenna støðinum undir filtrum verður víst til lærubøkur í streymrásfrøði, t.d. ”Electric Circuits” av J. W. Nilsson og S. A. Riedel,

Filtrur kunnu bítast upp í fimm høvuðsbólkar:

- Lágpassfiltrur lata signal, myndað av lágum frekvensum, fara ígjøgnum, meðan háfrekvent signal verða forðað.
- Hápassfiltrur lata signal, myndað av høgum frekvensum, fara ígjøgnum, meðan lágfrekvent signal verða forðað.
- Bandpassfiltrur lata signal í ávísu frekvensøki fara ígjøgnum.
- Bandstoppfiltrur forða signalum í ávísu frekvensøki at fara ígjøgnum, meðan signal myndað av frekvensum uttan fyri hetta frekvensøki kunnu fara ígjøgnum óforðað.
- ”All-pass” filtrur lata signal við øllum frekvensum fara ígjøgnum óforðað uttan at broyta støddina, men fasan broytist við frekvensinum.

Ítøkilig í hvørjum samanhangi, filtrur verða brúkt, kann verða lýst við nøkrum dømunum.

Lágpassfiltrur, hápassfiltrur og bandpassfiltrur koma ofta fyri í samband við styrkjarar, tað kann t.d. vera til ljóðupptøku ella ljóðdendurskapan, har ynskt er bert at avmarkað frekvensøkið, ið brúkt verður at styrkja ella dempa ávís frekvensøki, t.d. bass og diskant.

Í vanligum radiomóttøkutólum verður tann radiosendistøðin, sum ynskt verður at lurta eftir, vald við at stilla móttakaran á rættan móttøkufrekvens (t.d. hevur millumbyljustøðin hjá útvarpinum frekvensin 531 kHz og FM á Húsareyni frekvensin 89,9 MHz). Fyri at kunna móttaka júst henda frekvensin verður eitt smalt frekvensøki úrvalt við einum bandpassfiltri, sum oftast er uppbyggt sum ein resonansrás, ið fær signal (spenning ella streym) frá antennuni.

Í ávísu førum er óljóð við ávísu frekvensi, t.d. frá 50 Hz spenninginum á el-netinum (brumm) til stóran ampa fyri elektrisk tól. Er eitt ynskt signal íblandað tilíkt óljóð, ber til at filtrera 50 Hz óljóðið frá við bandstoppfiltri, ið letur alt signalið fara ígjøgnum við undantak av einum smølum frekvensøki rundan um 50 Hz. Hetta kann gerast við resonansrás, ið letur ynskta signalið fara ígjøgnum, meðan 50 Hz brummið verður steðgað. Við hesum báðum dømunum sum baggrund fyri brúk av resonansrásum verður grundleggjandi viðurskiftini hjá resonansrásum viðgjørd í parti 2 í hesum bóklingi.

Í summum førum er uppgávan at gera eitt filtrur, ið uppfyllir ávísar treytir fyri amplitudukarakteristikki og fasukarakteristikki, t.e. hvørjir partar av signalinum skulu styrkjast, og hvørjir partar skulu dempast sum funktión av frekvensinum, og í hvørjum skapi, ella hvussu fasan skal broytast við frekvensinum. Hetta kann til dømis vera í samband við tillagan av tónleikinum frá eini styrkjaraskipan, har nakrir (t.d. høgir) tónar eru ynsktir harðari og aðrir veikari. Ger av yvurføringsfunktión við soleiðis tillagaðum amplitudu- og fasukarakteristikki verður nevnt syntesa. Dømi um gerð av yvurføringsfunktión, ið lýsir prinsippini í syntesu, verður viðgjørt í parti 3.

Í nógvum förum er tað hent at brúka aktivar komponentar til uppbygging av sonevndum aktivum filtrum. Her verður serstakliga operatiónsstyrkjarin brúktur. Hann vil sum oftast kunna verða tikin fyri at vera ideellur. Til at lýsa hetta verða nøkur dømi um aktiv filter viðgjørd, har ideellir operatiónsstyrkjarar verða brúktir.

Í parti 4 er einfalt lágpasfilter gjørt við einum operatiónsstyrkjara og í parti 5 er tilsvarandi hápasfilter sett upp eisini við einum operatiónsstyrkjara. Í parti 6 eru lágpasfilterið og hápasfilterið sett í parallell til eitt bandstopfilter. Í parti 7 eru hesi bæði filterini sett á rað til eitt bandpasfilter.

Eitt "all-pass" filter er filter, ið bert broytir fasuna av einum signali sum funkión av frekvensinum, meðan støddin á signalinum er óbroytt. All-pass filter verða t.d. brúkt í samband við signalviðgerð og simulering av ljóði millum annað í stórum hallum til tónleikaendamál. Eisini er all-pass filter týðningarmikið í samband við signalviðgerð í seismikki. Í parti 8 verður eitt "all-pass" filter, sum er uppbyggt við brúki av operatiónsstyrkjarum, viðgjørt.

Tað eigur at verða viðmerkt, at filter ofta verða gjørd sum digital filter, men er hetta evni uttanfyri evni í hesum bóklíngi, sum bert viðgerð analog filter. Dømini við aktivum filtrum, sum eru við í hesi viðgerð, eru simulerað við Pspice. Tað kann verða ein góð venjing í brúki av Pspice at eftirgera hesa simulering.

2. Resonansrásir

Resonansrásir kunnu sigast at vera smalbandsfíltur, sum bert loyva signalum (streymum og spenningum) í rásini at hava nevniverða stódd í smølum frekvensintervalli ella frekvensbandi rundan um ein miðfrekvens. Í hesum ritinum verða tey bæði høvuðssløgini av resonansrásum, ið eru nevndar parallell- og seriuresonansrásir, greindar.

Evnið verður býtt upp í hesar partarnar:

- Definiþión av einfaldari seriuresonansrás og parallellresonansrás, og lýsing av streymum og spenningum sum funkiþión av frekvensinum.
- Definiþión av resonansfrekvensi og góðskufaktori.
- Transienta sveiggjagongdin hjá resonansrásum.
- Umrokning av tapsmótstóðu í reaktansi millum seriurmótstóðu og parallellmótstóðu. Hetta hevur týdning fyri at útrokna samlaða orkutapið í eini resonansrás.
- Definiþión av tapsefaktori og útrokning av samlaðum tapsefaktori fyri eina samansetta resonansrás.
- Eginleikar í resonansrásum av týdningi til nýtsluendamál.

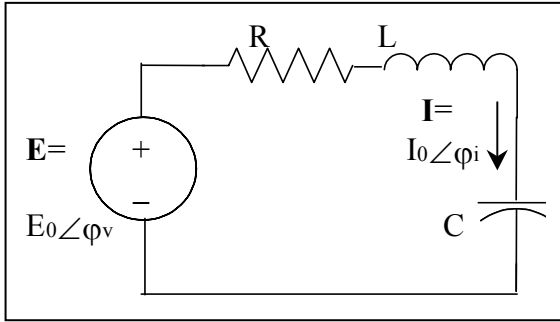
2.1 Seriuresonansrásin og parallellresonansrásin

Ein einföld seriuresonansrás er ein seriubinding av einum kondensatori C , einari sjálvinduktiþión L og einari mótstóðu R til ein spenningsgerða við spenninginum E , sum mynd 2.1 vísir.

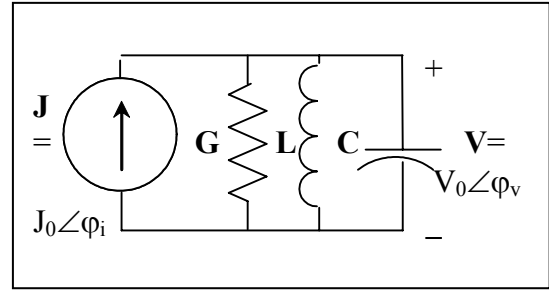
Ein einföld parallellresonansrás er tann til hesa rás duala rásin, t.v.s. ein parallellbinding av einum kondensatori C , einari sjálvinduktiþión L og einum konduktansi G til ein streymgerða við streyminum J , sum mynd 2.2 vísir.

Lata teir brúktu gerðarnir sinus spenning E og sinus streym J frá sær við cykliska frekvensinum ω , verða tær tilsvareandi stóddirnar fyri streym I í seriurásini og spenningin V yvir parallellrásina funnar við ohms lóg fyri vendistreyamar, sum formlarnir undir myndunum vísa. Her eru tær nýggju stóddirnar cykliski resonansfrekvensurin ω_0 og tilsvareandi resonansfrekvensurin $f_0 = \omega_0/2\pi$, umframt Q , nevndur góðskufaktorin ella bert góðskan, eisini definerað.

Í mynd 2.3 og 2.4 er broytingin av modulus av streyminum I í seriuresonansrásini og spenninginum V yvir parallellresonansrásina víst saman við teimum tilsvareandi fasuvinklum. Vit síggja, at broytingin við frekvensinum er eins fyri I í seriuresonansrásini og V yvir parallellresonansrásina.



Mynd 2.1



Mynd 2.2

$$(2.1) \quad \mathbf{I} = \mathbf{I}_0 \angle \varphi_i = \frac{\mathbf{E}}{R + j\omega L + 1/(j\omega C)}$$

$$= \frac{\mathbf{E}}{R} \cdot \frac{1}{1 + jQ(\omega/\omega_0 - \omega_0/\omega)}$$

$$(2.2) \quad \omega_0 = 1/\sqrt{LC}, \quad f_0 = \omega_0/(2\pi)$$

$$(2.3) \quad Q = 1/R \cdot \sqrt{L/C}$$

$$(2.4) \quad \frac{|\mathbf{R}\mathbf{I}|}{|\mathbf{E}|} = \frac{1}{(1 + Q^2 \cdot (\omega/\omega_0 - \omega_0/\omega)^2)^{1/2}}$$

$$(2.5) \quad \angle(\mathbf{I}/\mathbf{E}) = -\text{Arctg}(Q/(\omega/\omega_0 - \omega_0/\omega))$$

$$(2.6) \quad \mathbf{V} = \mathbf{V}_0 \angle \varphi_v = \frac{\mathbf{J}}{G + j\omega C + 1/(j\omega L)}$$

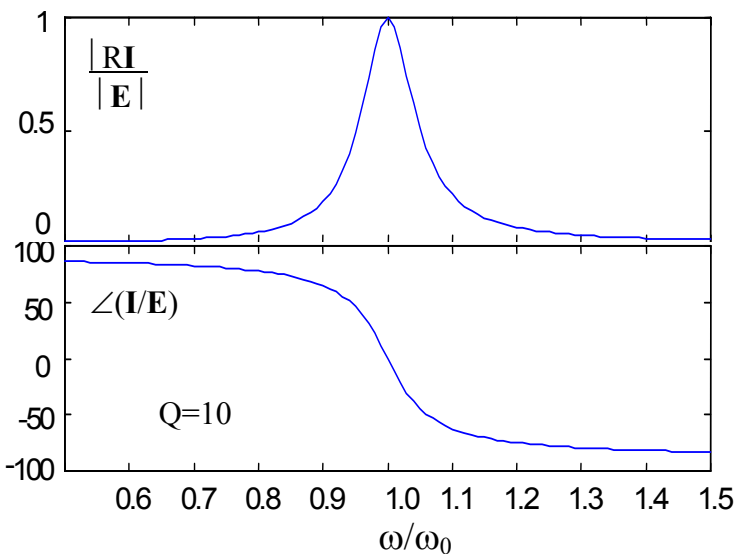
$$= \frac{\mathbf{J}}{G} \cdot \frac{1}{1 + jQ(\omega/\omega_0 - \omega_0/\omega)}$$

$$(2.7) \quad \omega_0 = 1/\sqrt{LC}, \quad f_0 = \omega_0/(2\pi)$$

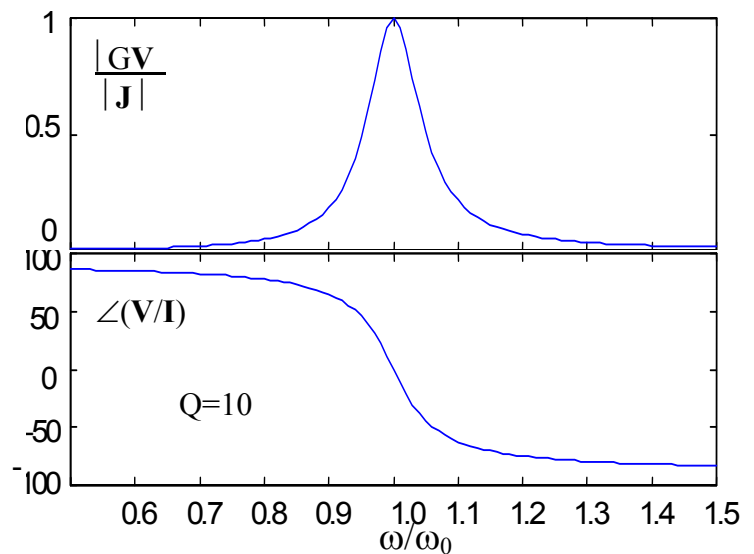
$$(2.8) \quad Q = 1/R \cdot \sqrt{L/C}$$

$$(2.9) \quad \frac{|\mathbf{G}\mathbf{V}|}{|\mathbf{J}|} = \frac{1}{(1 + Q^2 \cdot (\omega/\omega_0 - \omega_0/\omega)^2)^{1/2}}$$

$$(2.10) \quad \angle(\mathbf{V}/\mathbf{J}) = -\text{Arctg}(Q/(\omega/\omega_0 - \omega_0/\omega))$$



Mynd 2.3



Mynd 2.4

Í *seriuresonansrásini* við $\omega = \omega_0$ (t.e. í resonansinum) verður streymurinn í rásini $I = \frac{E}{R}$, og

$$(2.11) \quad \text{Spennungurinn yvir mótstöðuni} \quad V_R = RI = E$$

$$(2.12) \quad \text{Spennungurinn yvir sjálvinduktiónina} \quad V_L = j\omega LI = \frac{j\omega L}{R} E = jQE$$

$$(2.13) \quad \text{Spennungurinn yvir kondensatorin} \quad V_C = \frac{1}{j\omega_0 C} I = \frac{1}{j\omega_0 CR} E = -jQE$$

Sostatt er spennungurinn yvir sjálvinduktión og kondensator faktorinn Q stórri enn spennungurinn E frá spenningsgerðanum og yvir mótstöðuna. Her hendir sostatt eitt slag av spenningsstyrking, sum víst í mynd 2.5a. V_L og V_C hava mótsætt fortekn og standa vinkulrætt á V_R .

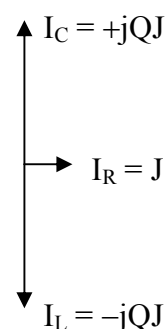
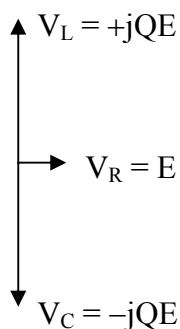
Í *parallellresonansrásini* við $\omega = \omega_0$ (t.e. í resonansinum) verður spennungurinn yvir rásina $V = \frac{J}{G}$, og

$$(2.14) \quad \text{Streymurinn í konduktansinum} \quad I_G = GV = J$$

$$(2.15) \quad \text{Streymurinn í kondensatorin} \quad I_C = j\omega CV = \frac{j\omega C}{G} J = jQJ$$

$$(2.16) \quad \text{Streymurinn í sjálvinduktiónina} \quad I_L = \frac{1}{j\omega_0 L} V = \frac{1}{j\omega_0 LG} J = -jQJ$$

Sostatt er streymurinn í sjálvinduktión og kondensatori faktorinn Q stórri enn streymurinn J frá streymgerðanum og í konduktansinum. Her hendir sostatt eitt slag av streymstyrking, sum víst í mynd 2.5b. I_L og I_C hava mótsætt fortekn og standa vinkulrætt á I_R .



Mynd 2.5 a. Spennungar í seriuresonansrásini yvir mótstöðu (V_R) sjálvinduktión (V_L) og kondensator (V_C), tá $\omega = \omega_0$ (t.e. í resonansinum)

Mynd 2.5 b. Streymar í parallellresonansrásini í konduktansi (I_G), kondensatori (I_C) og sjálvinduktión (I_L), tá $\omega = \omega_0$ (t.e. í resonansinum)

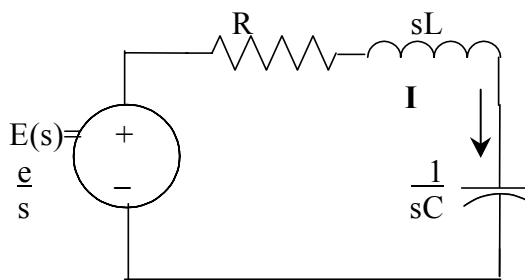
2.2 Transient sveiggj í resonansrásum

Sum eitt eyðkennisdæmi fyri transient sveiggj í eini resonansrás kunnu vit lýsa *undirkritiskt, yvirkritiskt og kritiskt* dempað sveiggj í seriuresonansrásini, sum er víst í mynd 2.6, har ein trinspenningsgerði $e(t) = e \cdot u(t)$ er settur til eina seriuresonansrás. Støddin e er ein konstantur, og $u(t)$ er trinfunktióin við virðinum 0, tá $t < 0$, og 1, tá $t > 0$. Tann Laplacetransformeraði streymurin í rásini verður tá

$$(2.17) \quad I(s) = \frac{e}{s} \cdot \frac{1}{R+sL+1/sC} = \frac{e}{L} \cdot \frac{1}{s^2 + (\omega_0/Q)s + \omega_0^2}$$

$$= \frac{e}{L\omega_0 \sqrt{(1-1/(4Q^2))}} \cdot \frac{\omega_0 \sqrt{(1-1/(4Q^2))}}{(s+\omega_0/(2Q))^2 + \omega_0^2 (1-1/(4Q^2))}$$

Tann tilsvarandi tíðarfunktióin $i(t)$ fyri streymin er heft av síðsta liðinum av nevnanarum $\omega_0^2(1 - \frac{1}{4Q^2})$ og kann í víðari greining bytast upp í trí ymisk føri: $Q > \frac{1}{2}$ (*undirkritiskt dempað sveiggj*), $Q < \frac{1}{2}$ (*yvirkritiskt dempað sveiggj*) og $Q = \frac{1}{2}$ (*kritiskt dempað sveiggj*).



Mynd 2.6

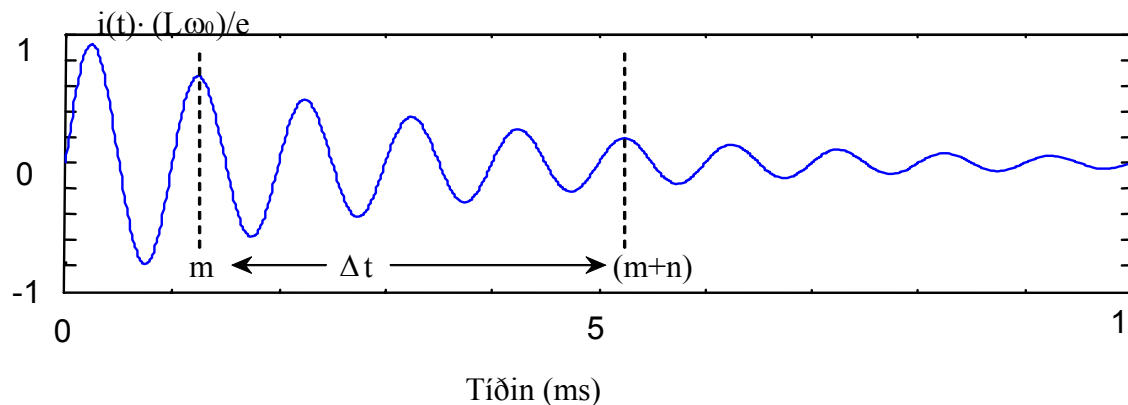
Undirkritiskt dempað sveiggj, $Q > \frac{1}{2}$

Í hesum føri er síðsta liðið í nevnanarum $\omega_0^2(1 - \frac{1}{4Q^2}) > 0$ og $I(s)$ hevur tá tveir kompleksar pólur, ið eru komplekst konjugeraðir. Tí vil tann til $I(s)$ svarandi tíðarfunktióin vera eitt dempað sinussveiggj

$$(2.18) \quad i(t) = \frac{e}{L\omega_0 \sqrt{(1-1/(4Q^2))}} \cdot \exp(-\omega_0/(2Q)t) \cdot \sin(\omega_0 \sqrt{(1-1/(4Q^2))} \cdot t)$$

$$\cong e/(L\omega_0) \cdot \exp(-\omega_0/(2Q)t) \cdot \sin(\omega_0 \cdot t)$$

Tann seinasta approksimatióin er galdandi, tá $Q \gg 1$. Avmynda vit henda streymin sum funktióin av tíðini, fæst myndin 2.7



Mynd 2.7

Av mynd 2.7 og formulinum fyrir $i(t)$ sæst, at tíðarbilið millum tað m 'ta og tað $(m+n)$ 'ta maksimið í myndini av $i(t)$ er

$$(2.19) \quad \Delta t = n \cdot (2\pi/\omega_0)$$

og lutfallið millum streymamplitudurnar í hesum punktum er

$$(2.20) \quad i_{m+n}/i_m = \exp(-(\omega_0/2Q)\Delta t)$$

Av hesum báðum formlunum finna vit cykliska resonansfrekvensin

$$(2.21) \quad \omega_0 = m \cdot 2\pi/\Delta t$$

og góðskuna

$$(2.22) \quad Q = n \cdot \pi / \ln(i_m/i_{m+n})$$

Heilt tey somu úrslitini fyrri góðskuna Q og cykliska resonansfrekvensin ω_0 kunnu finnast fyrri eina parallellresonansrás, ið fær streym frá einum trinstreymgerða, ið er settur parallelt við resonansrásina; bert skulu vit nú í formlinum fyrri Q býta i_{m+n}/i_m um við v_{m+n}/v_m , har v er spenningurin yvir teir parallelt samansettu komponentarnar.

Yvirkritiskt dempað sveiggj, $Q < 1/2$

Í hesum føri er síðsta liðið í nevnanum $\omega_0^2(1 - \frac{1}{4Q^2}) < 0$, og $I(s)$ hevur tá tveir ymiskar reellar pólar:

$$s = -\frac{\omega_0}{2Q} \pm \sqrt{(\frac{1}{4Q^2} - 1)}$$

Tí vil tann til $I(s)$ svarandi tíðarfunktióin vera samansett av tveimum eksponetialfunktiónum. Hetta úrslit fæst við dekompositiún, sum víst her,

$$\begin{aligned}
 (2.23) \quad I(s) &= \frac{e}{L} \cdot \frac{1}{\left[s + \left(\frac{\omega_0}{2Q} - \omega_0 \sqrt{\left(\frac{1}{4Q^2} - 1 \right)} \right) \right] \cdot \left[s + \left(\frac{\omega_0}{2Q} + \omega_0 \sqrt{\left(\frac{1}{4Q^2} - 1 \right)} \right) \right]} \\
 &= \frac{e}{2L\omega_0 \sqrt{\left(\frac{1}{4Q^2} - 1 \right)}} \cdot \left(\frac{1}{s + \left(\frac{\omega_0}{2Q} - \omega_0 \sqrt{\left(\frac{1}{4Q^2} - 1 \right)} \right)} - \frac{1}{s + \left(\frac{\omega_0}{2Q} + \omega_0 \sqrt{\left(\frac{1}{4Q^2} - 1 \right)} \right)} \right)
 \end{aligned}$$

Tann til $I(s)$ svarandi tíðarfunkciónin er tí

$$(2.24) \quad i(t) = \frac{e}{2L\omega_0 \sqrt{\left(\frac{1}{4Q^2} - 1 \right)}} \cdot \left(e^{-\left(\frac{1}{2Q} - \sqrt{\left(\frac{1}{4Q^2} - 1 \right)} \right) \omega_0 t} - e^{-\left(\frac{1}{2Q} + \sqrt{\left(\frac{1}{4Q^2} - 1 \right)} \right) \omega_0 t} \right)$$

Kritiskt dempað sveiggi, $Q = \frac{1}{2}$

Í hesum føri er síðsta liðið í nevnanarum $\omega_0^2 \left(1 - \frac{1}{4Q^2} \right) = 0$, og $I(s)$ hevur tá ein dupultan reellan pól:

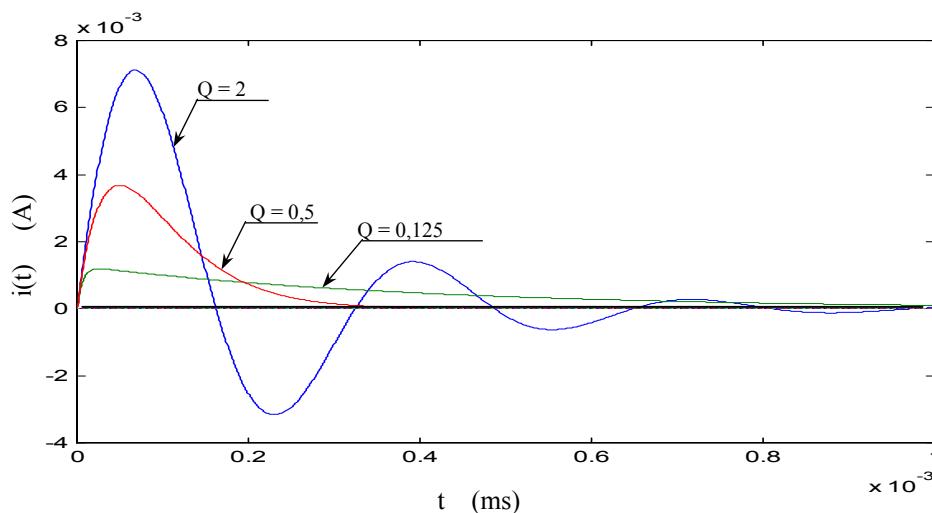
$s = -\frac{\omega_0}{2Q}$. Laplacetransformurin fyri streymin $I(s)$ er tí,

$$(2.25) \quad I(s) = \frac{e}{L} \cdot \frac{1}{\left[s + \frac{\omega_0}{2Q} \right]^2}$$

Tann til $I(s)$ svarandi tíðarfunkciónin er

$$(2.26) \quad i(t) = \frac{e}{L} \cdot t \cdot e^{-\frac{\omega_0}{2Q} t}$$

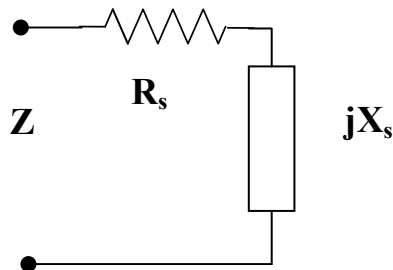
Mynd 2.8 vísir gongdina av $i(t)$ sum funkión av tíðini fyri øll trý førinum, har $Q > \frac{1}{2}$, $Q = \frac{1}{2}$ og $Q < \frac{1}{2}$. Vit leggja merki til, at tá rásin er kritiskt dempað ($Q = \frac{1}{2}$), fær $i(t)$ skjótast sítt javnvágsvirði.



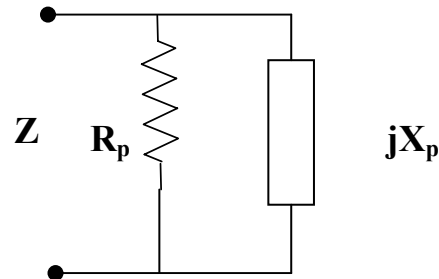
Mynd 2.8 Broyting av streymi $i(t)$ í seriuresonansrás við tíðini svarandi til ymisk Q -virði: Undirkritísk demping $Q = 2$ ($R = 50$), kritísk demping $Q = 0,5$ ($R = 200$) og yvirkritísk demping $Q = 0,125$ ($R = 800$). Í øllum trimum førum er $e = 1$ V, $L = 5$ mH og $C = 500$ nF.

2.3 Umrokning av tapsmótstöðu í reaktansi millum seriu og parallellmótstöðu.

Tá vit hava við resonansrásir at gera, eru ofta fleiri mótstöður í rásini, har summar eru settar í seriu við, og summar eru settar parallelt við ein reaktans. Tí er ofta brúk fyri at rokna seriumótstöðu, sum víst í mynd 2.9, um til parallellmótstöðu, sum víst í mynd 2.10, ella mótsætt. Serstakan týðning hava hesar umrokningar, tá seriumótstöðan er lítil, t.e. $R_s \ll X_s$, og tá parallellmótstöðan er stór, t.e. $R_p \gg X_p$. Í hesum førum eru approximatiónirnar, ið niðanfyrri eru vístar, galdandi og nógv brúktar.



Mynd 2.9



Mynd 2.10

Úr myndunum fæst, at, um Z í báðum rásum í mynd 2.9 og 2.10 skulu vera eins, verður

$$(2.27) \quad Z = R_s + jX_s = R_p \parallel jX_p = \frac{jR_p X_p}{R_p + jX_p} = \frac{R_p X_p^2}{R_p^2 + X_p^2} + \frac{jR_p^2 X_p}{R_p^2 + X_p^2}$$

Úr hesi líkning fæst úrslitið

$$(2.28) \quad |Z|^2 = \frac{R_p^2 X_p^2}{R_p^2 + X_p^2}$$

$$(2.29) \quad R_s = \frac{R_p X_p^2}{R_p^2 + X_p^2} \cong \frac{X_p^2}{R_p}$$

$$(2.30) \quad X_s = \frac{R_p^2 X_p}{R_p^2 + X_p^2} \cong X_p$$

$$(2.31) \quad R_s \cdot R_p = X_s \cdot X_p = \frac{R_p^2 X_p^2}{R_p^2 + X_p^2} = |Z|^2$$

2.4 Tapsfaktorar í resonansrás.

Tapsfaktorin d fyri ein reaktans X , ið er settur í seriu við eina mótstöðu R_s , er defineraður sum lutfallið

$$(2.32) \quad d = R_s / X$$

Tapsfaktorin fyri ein reaktans X , ið er settur parallelt við mótstöðuna R_p , er defineraður sum lutfallið

$$(2.33) \quad d = X / R_p$$

Navnið tapsfaktor stavar frá, at tilknýtt d er eitt orkutap í streymrásini. Brúka vit umskrivningina frá parti 3 fyri seriu impedansar til parallell impedansar er approximativt $R_p = X^2 / R_s$, og vit síggja, at omanfyri standandi definitiónir av tapsfaktorinum geva sama úrslit.

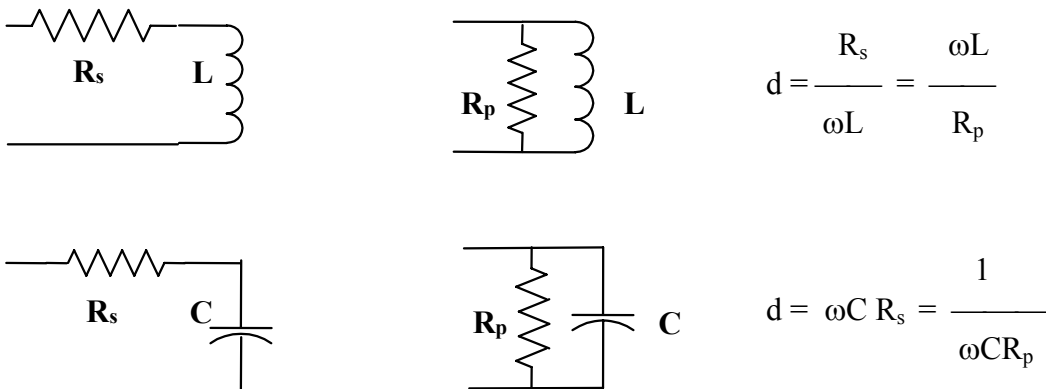
Fyri sjálvinduktiónina er soleiðis galdandi, at tapsfaktorin er

$$(2.34) \quad d = \omega L / R_p = R_s / \omega L$$

Somuleiðis er galdandi fyri kondensatorin

$$(2.35) \quad d = \omega C R_s = 1/(\omega C R_p)$$

Vit kunnu sostatt umforma seriu rás til parallell rás og umvent við at brúka hesar formlarnar fyri tapsfaktorarnar soleiðis, sum víst í mynd 2.11.



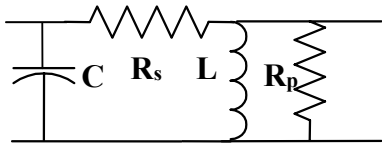
Mynd 2.11

Í eini resonansrás eru tveir reaktansar, ωL fyri sjálvinduktiónina og $1/(\omega C)$ fyri kapasitetin. Við cykliska frekvensinum $\omega = \omega_0$, ið er resonansfrekvensurin, eru hesir reaktansar, sum áður nevnt, eins stórir $\omega_0 L = 1/(\omega_0 C)$. Tann reciprokki tapsfaktorin d fyri resonansrásina sæst í øllum førum at vera góðskufaktorin Q , sum áður er defineraður:

$$(2.36) \quad d = 1/Q$$

Eru nú bæði seriu og parallellmótstöður í tí brúktu sjálvinduktiónini og kondensatorinum ber til í resonansrásini at tilskriva hvörjum av hesum mótstöðum ein tapsfaktor sambært omanfyri standandi. Til at lýsa hetta hyggja vit at trimum dønum.

Dømi 1: Parallellresonansrás við seriu og parallell mótstöðum við cycliska resonansfrekvensinum ω_0 . Vit rokna samlaða tapsfaktorin út fyri resonansrásina.



Mynd 2.12

Tann samlaði javnsetti (ækvivalenti) parallellkonduktansurin er

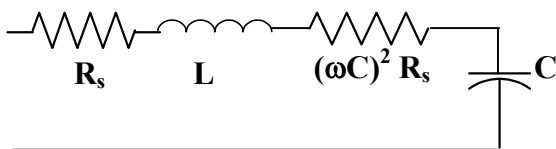
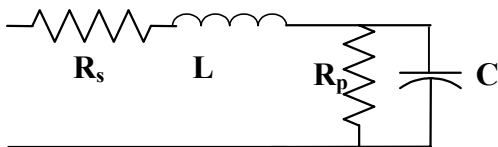
$$(2.37) \quad 1/R_p' = 1/R_p + R_s / (\omega_0 L)^2$$

og tilsvarandi tapsfaktorin er

$$(2.38) \quad d = \omega_0 L / R_p' \\ = \omega_0 L / R_p + R_s / (\omega_0 L) = 1/Q$$

Hetta er júst summin av tapsfaktorunum svarandi til tær báðar mótstöðurnar og tað resiprokka virðið av góðskufaktorinum.

Dømi 2: Seriuresonansrás við seriu og parallell mótstöðum við cycliska resonansfrekvensinum ω_0 . Vit rokna samlaða tapsfaktorin út fyri resonansrásina.



Mynd 2.13

Tann samlaði javnsetta (ækvivalenta) seriumótstöðan er

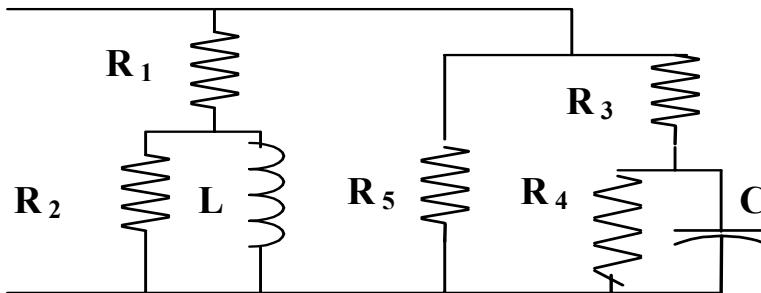
$$(2.39) \quad R_s' = R_s + R_p (\omega_0 C)^2$$

og tilsvarandi tapsfaktorin er

$$(2.40) \quad d = \omega_0 C R_s' \\ = \omega_0 C R_s + 1 / \omega_0 C R_p = 1/Q$$

Hetta er júst summin av tapsfaktorunum svarandi til tær báðar mótstöðurnar og tað resiprokka virðið av góðskufaktorinum.

Dømi 3: Parallellresonansrás (L og C eru parallell) við fleiri seriu og parallell mótstöðum við cykliska resonans-frekvensinum ω_0 . Vit rokna samlaða tapsfaktorin út fyri resonansrásina.



Mynd 2.14

Tann samlaða ækvivalenta parallellmótstöðan er R_p' , har

$$(2.41) \quad 1/R_p' = R_1/(\omega_0 L)^2 + 1/R_2 + 1/R_5 + R_3(\omega_0 C)^2 + 1/R_4$$

og tilsvareandi tapsfaktorin, havandi í huga, at $\omega_0 L = 1/(\omega_0 C)$, er

$$(2.42) \quad \begin{aligned} d &= d_1 + d_2 + d_5 + d_3 + d_4 = \omega_0 L/R_p' \\ &= R_1/(\omega_0 L) + \omega_0 L/R_2 + \omega_0 L/R_5 + R_3 \omega_0 C + 1/(R_4 \omega_0 C) \\ &= R_1/(\omega_0 L) + \omega_0 L/R_2 + \omega_0 L/R_5 + R_3/(\omega_0 L) + (\omega_0 L)/R_4 \\ &= 1/Q \end{aligned}$$

Hetta er júst summin av tapsfaktorunum svarandi til tær fimm mótstöðurnar og tað resiprokka virðið av góðskufaktorinum.

2.5 Resonansrásir í nýtslu

Resonansrásir verða brúktar til smalbandsfiltur, har tað ræður um at skilja eitt signal við einum smølum frekvensøki frá øðrum signalum. Sum dømi kunnu vit nevna antennuinngangin í einum útvarpsmóttakara. Tá ræður um, at gera frekvensbreiddina júst so breiða sum útvarpskanalin er. Á millumbylgjum er hendan frekvensbreiddin $B = 9$ kHz. Hetta svarar til dømis til, at millumbylgju-sendarin hjá Útvarpi Føroya sendir í frekvensøkinum $f = 531 \text{ kHz} \pm \Delta f$, har $\Delta f = 4,5$ kHz.

Bandbreiddin B definera út frá virðinum har amplitudan er fallin við faktorinum $\sqrt{2}$ er, útroknað við støði í Q ,

$$(2.43) \quad B = 2f_0 / Q$$

Tað er tí greitt, at Q í nevnda útvarpsdømi skal vera á leið $2 \cdot 531000 / 9000 = 118$. Ofta verður Q valt eitt sindur størri. Til onnur endamál kann brúk vera fyri nógv hægri Q virðum. Tí er av týðningi at kanna eftir, hvaðani tapsmótstöðurnar í eini resonansrás í veruleikanum koma frá.

Størsti parturin av tapsfaktorinum kemur vanliga frá mótstøðuni í spolanum, og frá tí magnetiska tilfarinum, sum spolin er vundin uppá. Magnetiska tilfarið, ið oftast verður brúkt, er nevnt ferritt.

Kondensatorin er heldur ikki tapsfriur við tað, at leiðararnir til kondensatorplátturnar hava mótstøðu, og isolerandi tilfarið millum plátturnar er ikki fullfiggjað isolerandi. Men tapini (tapsfaktorin) stavandi frá hesum eru vanliga nógv minni enn tapini, sum nevnd eru at koma fyri í spolanum. Tí taka vit bara spolatapini við her.

Í einum spola kann mótstøðan í leiðaranum javnsetast (ækvivalerast) við eina seriumótstøðu R_s , meðan orkutapið, sum fer fram í magnetiska ferrittilfarinum kann javnsetast við eina parallellmótstøðu R_p soleiðis, at samlaði tapsfaktorin $d = 1/Q$ verður virðið sum er funnið í dømi 1 ella dømi 2 (her er at minnast til at $\omega_0 L = 1/(\omega_0 C)$), t.v.s. Q hevur sama virði í eini seriu- og parallellresonansrás,

$$(2.44) \quad Q = 1/d = 1/(\omega_0 L/R_p + R_s/(\omega_0 L))$$

Lata vit nú resonansfrekvensin broytast (við t.d. at broyta C), broytist Q og hevur eitt størstavirði (verður funnið við at differentiera Q sum funktión av ω_0)

$$(2.45) \quad Q_{\max} = \frac{1}{2} \cdot \sqrt{R_p/R_s}$$

tá ið

$$\omega_0 = \omega_{r0} = 1/L \cdot \sqrt{R_p \cdot R_s}$$

og góðskufaktorin sum funktión av cykliska resonansfrekvensinum ω_0 kann skrivast

$$(2.46) \quad Q = 2Q_{\max} / (\omega_0/\omega_{r0} + \omega_{r0}/\omega_0)$$

3. Yvirkfæringsfunktiónir - syntesa

Í eini streymrás, ið bert verður ávirkað av einum signalgerða (spenningsgerða ella streymgerða) kann ein *yvirkfæringsfunktión* verða definerað sum lutfallið millum stöddina á signalinum (streym ella spenning) og signalgerðan. Treytirnar fyri definitiónini eru:

- rásin er Laplacetransformerað myndarás ella vendistreymrás í kompleksari formulering,
- eingir óheftir spennings- ella streymgerðar eru í rásini uttan hesin eini, sum ávirkar rásina í einum staði,
- heftir spennings- og streymgerðar kunnu væl vera í rásini
- byrjunarspenningar á øllum kondensatorum eru null, og
- byrjunarstreymar í øllum sjálvinduktiónum eru null.

Í viðgerð av Laplace-transformeraðum rásum verður ein yvirkfæringsfunktión $\mathbf{H}(s)$ fyri einhvønn spenning ella streym í rásini definerað sum lutfallið millum tað Laplace-transformeraða signalið (streym ella spenning) og tann Laplace-transformeraða signalgerðan (streym- ella spenningsgerðan).

Við stöði í yvirkfæringsfunktiónini $\mathbf{H}(s)$ verður *frekvenskarakteristikkurin* $\mathbf{H}(j\omega)$ defineraður við at seta $s = j\omega$.

Amplitudukarakteristikkurin verður defineraður sum tað nummeriska (modulus) virðið av frekvenskarakteristikkinum $|\mathbf{H}(j\omega)|$, og verður oftast myndaður logaritmiskt sum $A(j\omega) = 20 \log|\mathbf{H}(j\omega)|$.

Fasukarakteristikkurir verður defineraður sum fasuvinkulin hjá $\mathbf{H}(j\omega)$, t.e. $\angle \mathbf{H}(j\omega)$

Ofta verða amplitudukarakteristikkur og fasukarakteristikkur saman nevndir frekvenskarakteristikkarnir.

Á eftirfylgjandi síðum verður syntesa av filtri við reellum og kompleksum pólum lýst.

3.1 Syntesa við stöði í amplitudukarakteristikki og fasukarakteristikki

Ein amplitudukarakteristikkur og ein fasukarakteristikkur fastleggja eintýðugt yvirkfæringsfunktiónina fyri eina streymrás. Hetta er galdandi uttan mun til, um streymrásin hevur reellar ella kompleksar pólar og nullpunkt. Vit vilja her vísa, hvussu yvirkfæringsfunktiónin fyri eina streymrás verður funnin við stöði í hesum við einum hóskaði dømi.

Amplitudu- og fasukarakteristikkarnir eru givnir í mynd 3.1 og 3.2. Av hesum myndum lesa vit:

- Amplitudukarakteristikhallið er 20 dB/dek., tá $\omega \rightarrow 0$ svarandi til eitt nullpunkt $z = 0$.
- Brotkurvan hjá amplitudukarakteristikkinum hevur eitt brot uppá -20 dB/dek. (t.e. hallið broytist -20 dB/dekadu) í $\omega = 4$ rad/sek, svarandi til pólin $p_1 = -4$ rad/sek. At p_1 er negativur sæst av negativa hallinum av fasukarakteristikkinum í $\omega = 4$.
- Vit ásanna, at í $\omega = 400$ hevur amplitudukarakteristikkurin eitt spískt maksimum. Hetta svarar til kompleksar pólar svarandi til henda frekvensin.
- Brotkurvan hjá amplitudukarakteristikkinum hevur eitt brot uppá -40 dB/dek. í $\omega = 400$ rad/sek, svarandi til kompleksu pólar, hvørs nummerisku stöddir eru $|p_2| = |p_3| = 400$ rad/sek.

- Amplitudukarakteristikkurinn hefur eitt flatt ðeki ("horisontal asymptota") í intervallinum $4\text{rad/sek} < \omega < 400\text{ rad/sek}$ við virðinum 18 dB,
- Asymptotan hjá amplitudukarakteristikkinum hefur hallið -40 dB/dekadu , tá $\omega \rightarrow \infty$, svarandi til, at polynomið í nevnaranum hjá $H(s)$ er tvey stig hægri ordan enn teljarapolynomið.
- Eitt spískt maksimum uppá 32 dB, t.e. 14 dB oman fyri, har tann horisontala 18 dB-asymptotan og asymptotan við -40dB/dek. halli skerast. Hetta svarar til, at pólarnir p_2 og p_3 eru eitt komplekst pólpar, $p_2 = p_3^* = \alpha + j\beta$. Herav finst, at cykliski brotfrækvensurin $\omega_n = |p_2| = |p_3| = \sqrt{\alpha^2 + \beta^2} = 400\text{ rad/sek.}$

Við tí notatió, sum J.W.Nilsson og S.A.Riedel brúka, finna vit við at brúka standard amplitudukarakteristikkin, $\Delta A_{\text{dB,max}} = -10 \cdot \log(4\zeta^2(1 - \zeta^2)) = 32 - 18\text{dB}$. Av hesum finna vit, at $\zeta = \alpha / \omega_n = 0,1$. Av tí at $\omega_n = 400\text{ rad/sek}$ finna vit harvið, at $\alpha = 40\text{ rad/sek.}$ og $\beta = 398\text{ rad/sek} \cong 400\text{ rad/sek.}$

Kompleksu pólarnir hava tí virðini:

$$p_2 \cong -40 + j400\text{ rad/sek} \quad \text{og} \quad p_3 \cong -40 - j400\text{ rad/sek}$$

- Skjóta fasuskiftið uppá -180° rundan um cykliska frækvensin 400 rad/sek, sum víst í mynd 1.2, vísir eisini, at eitt komplekst pólpar er í yvurføringsfunctiónini har nummeriska støddin er 400 rad/sek.
- Fasan gongur móti -180° , tá $\omega \rightarrow \infty$.
- Fasan gongur móti $+90^\circ$, tá $\omega \rightarrow 0$.
-

Við teimum funnu pólunum og nullpunktunum er formurin av yvurføringsfunctiónini $H(s)$ sostatt:

$$(3.1) \quad H(s) = K \cdot \frac{s}{(s + 4) \cdot (s + 40 - j400) \cdot (s + 40 + j400)}$$

og vit fáa yvurføringsfunctiónina sum functión av frækvensinum við at seta $s = j\omega$

$$(3.2) \quad H(j\omega) = K \frac{j\omega}{(j\omega + 4) \cdot (j\omega + 40 - j400) \cdot (j\omega + 40 + j400)}$$

Eftir er at gera av, hvat virði K hefur. Á flata strekkinum er $40 < \omega < 400\text{ rad/sek}$, og tí er amplitudukarakteristikkurinn í hesum ðeki approsimativt

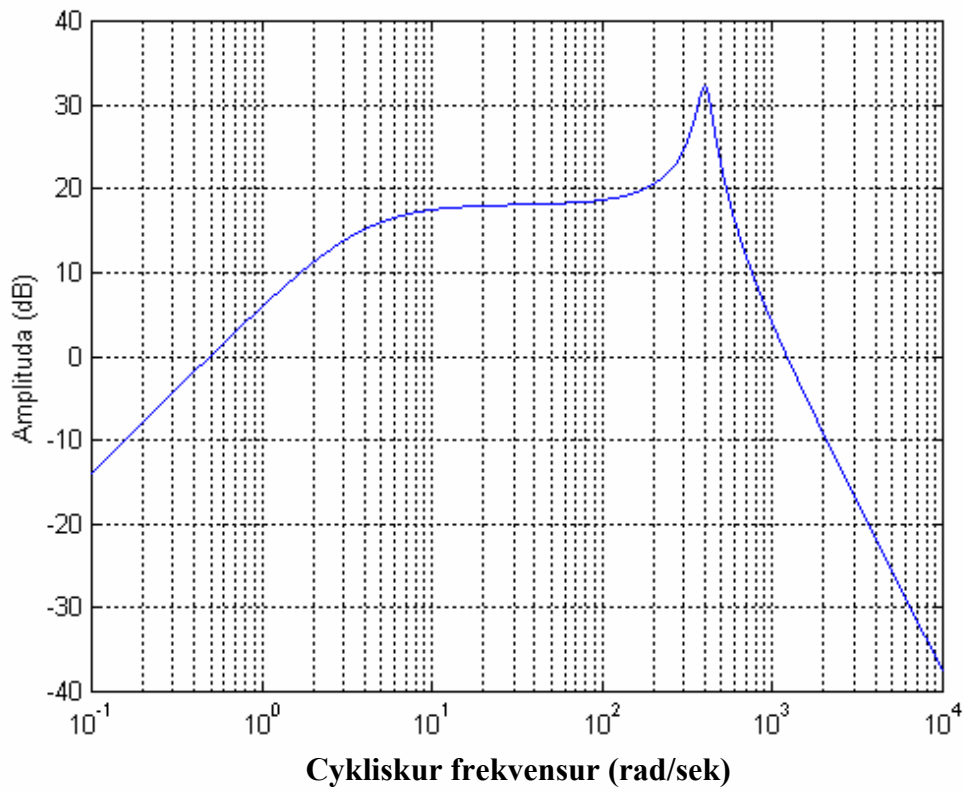
$$(3.3) \quad A(\omega) = 20 \log |H(j\omega)| = 18\text{ dB} \cong 20 \log (K / |p_2|^2) \cong 20 \log K - 40 \log 400\text{ dB}$$

Herav finst at $|K| = 1,27 \cdot 10^6$.

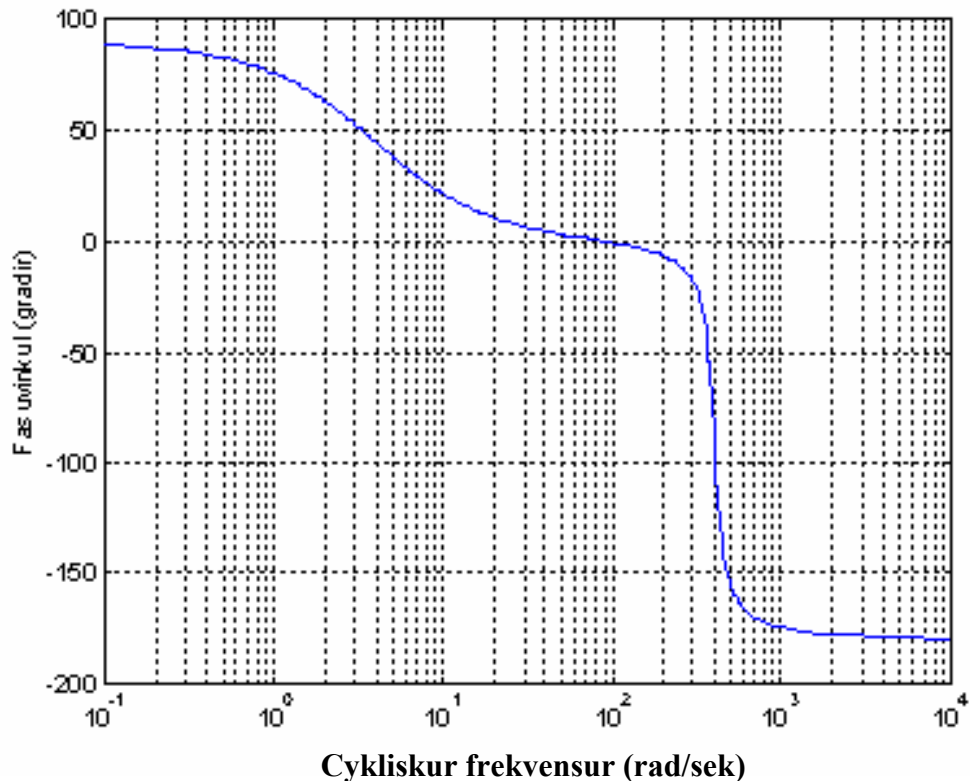
Fasan av K finst av, at, tá ið $\omega \rightarrow \infty$, gongur faktorurinn í teljaranum svarandi til nulpunktið út móti faktorurinn í nevnaranum svarandi til pólin p_1 , og $\angle H \rightarrow -180^\circ = \angle K - \angle(j\omega)^2 = \angle K - 180^\circ$.

Herav finst, at $\angle K = 0^\circ$, og $K = 1,27 \cdot 10^6$.

Vit kunnu eisini síggja, at fasan er røtt, t.e. $+90^\circ$, tá $\omega \rightarrow 0$.



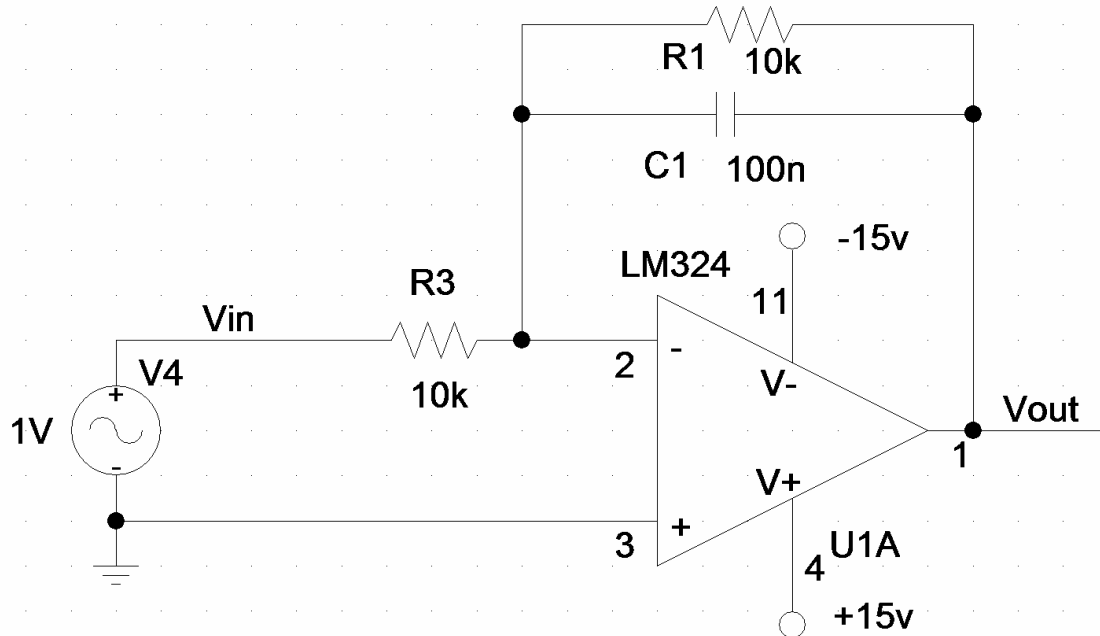
Mynd 3.1



Mynd 3.2

4. Lágpassfiltrur

Lágpassfiltrur er filtrur, ið letur lágfrekvent signal, t.e. signal við frekvensum millum 0 og ein markfrekvens sleppa ígjøgnum. Í hesum døminum verður gjøgnumgingið eitt 1. ordans aktivt lágpassfiltrur. Streymrásin er víst í mynd 4.1



Mynd 4.1 Streymrás fyri aktivt lágpassfiltrur

Yvirføringsfunktióin er

$$(4.1) \quad H(s) = -\frac{R_1 \parallel \frac{1}{j\omega C_1}}{R_3} = -\frac{R_1}{R_3(1 + sC_1R_1)} = -\frac{R_1}{C_1R_3(s + \frac{1}{C_1R_1})}$$

Seta vit $R_3 = R_1$ og $\omega_1 = \frac{1}{R_1C_1}$, umframt $s = j\omega$, er

$$(4.2) \quad H(j\omega) = -\frac{\omega_1}{(j\omega + \omega_1)} = -\frac{1}{(1 + \frac{j\omega}{\omega_1})}$$

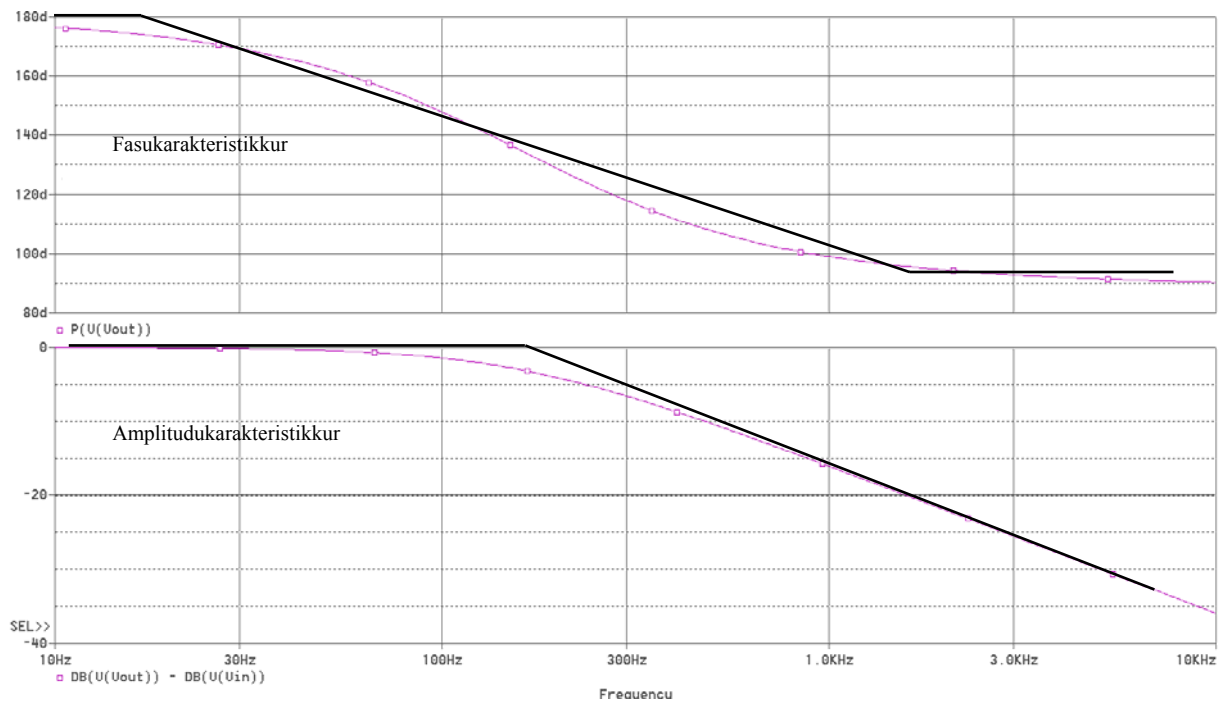
Amplitudukarakteristikkurin er

$$(4.3) \quad A(\omega) = -20 \cdot \log \sqrt{1 + \left(\frac{\omega}{\omega_1}\right)^2}$$

og fasukarakteristikkurin er

$$(4.4) \quad \angle H = 180^\circ - \text{Arc tan} \frac{\omega}{\omega_1}$$

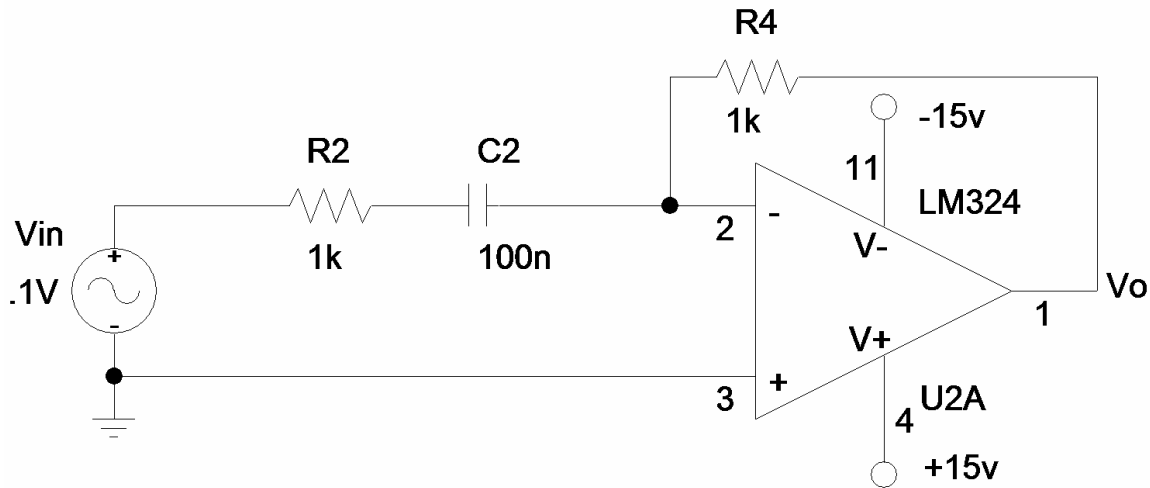
Mynd 4.2 vísir tilsvorandi amplitudu og fasukarakteristikkar avmyndaðar sum funktiún av frekvensinum $f = \omega/(2\pi)$ við logaritmiskum frekvensási við talvirðum sum givin í myndunum 4.1 og 4.2. Í myndini eru brotkurvar, ið mynda asymptoturnar, innteknaðar. Nær við frekvensin har henda brotlinja fyri amplitudukarakteristikkin hevur eitt brot, t.e. frekvensin, ið svarar til pólin í filtrinum hevur brotlinjan eitt frávik frá amplitudukarakteristikkinum uppá 3dB. Í teimum punktunum har brotlinjan fyri fasukarakteristikkin hevur brot, t.e. í punktunum $f = 1/10 f_1 = \text{Hz}$ og $f = 10 f_1 = \text{kHz}$, hevur brotlinjan eitt frávik frá fasukarakteristikkinum uppá 6° , ið er størsta frávik ið millum approximatión og sanna virði.



Mynd 4.2 Fasukarakteristikkur og amplitudukarakteristikkur fyri 1.ordans aktivt lágpassfiltr.

5. Hápassfiltrur

Hápassfiltrur er filtrur, ið letur háfrekvent signal, t.e. signal við frekvensum millum ein markfrekvens og ∞ sleppa ígjögnum. Í hesum døminum verður gjøgnumgingið eitt 1. ordans aktivt hápassfiltrur. Streymrásin er víst í mynd 5.1



Mynd 5.1 Streymrás fyri 1.ordans aktivt hápassfiltrur

Yvirföringsfunktióin er

$$(5.1) \quad H(s) = -\frac{R_4}{R_2 + \frac{1}{sC_2}} = -\frac{sC_2R_4}{1 + sC_2R_2} = -\frac{sR_4}{R_2(s + \frac{1}{C_2R_2})}$$

Hon hevur eitt nulpunkt $s = 0$, og ein pól $s = -\frac{1}{R_2C_2}$ svarandi til pólfrekvensin $\omega_2 = \frac{1}{R_2C_2}$ og markfrekvensin $f_2 = \omega_2/(2\pi)$. Seta vit $R_4 = R_2$, umframt $s = j\omega$, er

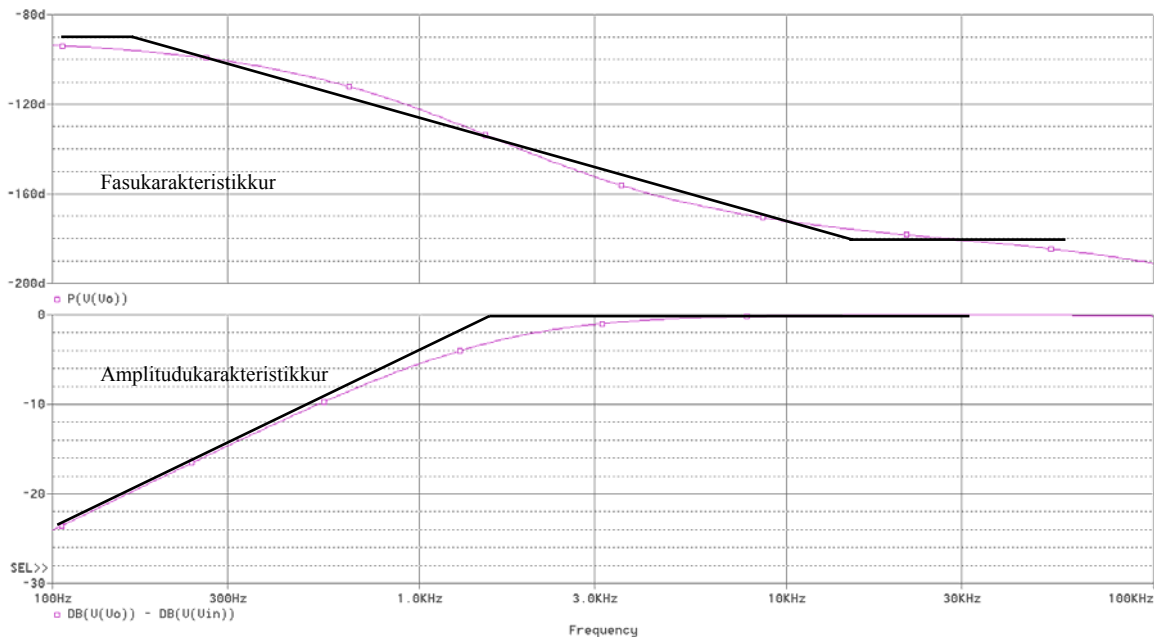
$$(5.2) \quad H(j\omega) = -\frac{j\omega}{(j\omega + \omega_2)} = -\frac{j\frac{\omega}{\omega_2}}{1 + j\frac{\omega}{\omega_2}}$$

Amplitudukarakteristikkurin er

$$(5.3) \quad A(\omega) = 20 \cdot \log \frac{\omega}{\omega_2} - 20 \cdot \log \sqrt{1 + \left(\frac{\omega}{\omega_2}\right)^2}$$

og fasukarakteristikkurin er

$$(5.4) \quad \angle H = 180^\circ + 90^\circ - \text{Arc tan} \frac{\omega}{\omega_2}$$



Mynd 5.2 Fasukarakteristikkur og amplitudukarakteristikkur fyrir 1.ordans aktivt hápassfiltr.

Mynd 5.2 vísir tilsvorandi amplitudu- og fasukarakteristikkar avmyndaðar sum funktión av frekvensinum $f = \omega/(2\pi)$ við logaritmiskum frekvensási við talvirðum, sum givin í myndunum 5.1 og 5.2. Í myndini eru brotkurvar, ið mynda asymptoturnar, innteknaðar. Nær markfrekvensinum $f_2 = 1,59$ kHz, har brotlinjan fyri amplitudukarakteristikkin hevur eitt brot, t.e. nær frekvensinum, ið svarar til pólin í filtrinum, hevur brotlinjan eitt frávik frá amplitudukarakteristikkinum uppá 3dB. Í teimum punktunum, har brotlinjan fyri fasukarakteristikkin hevur brot, t.e. í punktunum $f = 1/10 \cdot f_2 = 159$ Hz og $f = 10 \cdot f_2 = 15,9$ kHz, hevur brotlinjan eitt frávik frá fasukarakteristikkinum uppá 6° , ið er størsta frávik ið millum approximatión og sanna virði. (Sum tað sæst á myndini fellur fasan undir asymptotiska virðið 180° fyri teir hægstu frekvensirnar. Hetta er orsakað av, at operatiónsstyrkjarin í simuleringini ikki er heilt ideellur, og hevur einki at gera við ástøði fyri hápassfiltrið.)

6. Bandstopfiltrur

Í hesum døminum verður gjøgnumgingið eitt aktivt bandstopfiltrur samansett sum ein parallellsamanbinding av einum lágpasfiltru og einum hápasfiltru (sí eisini Nillson og Riedel kap.16). Streymrásin er vist í mynd 6.1.

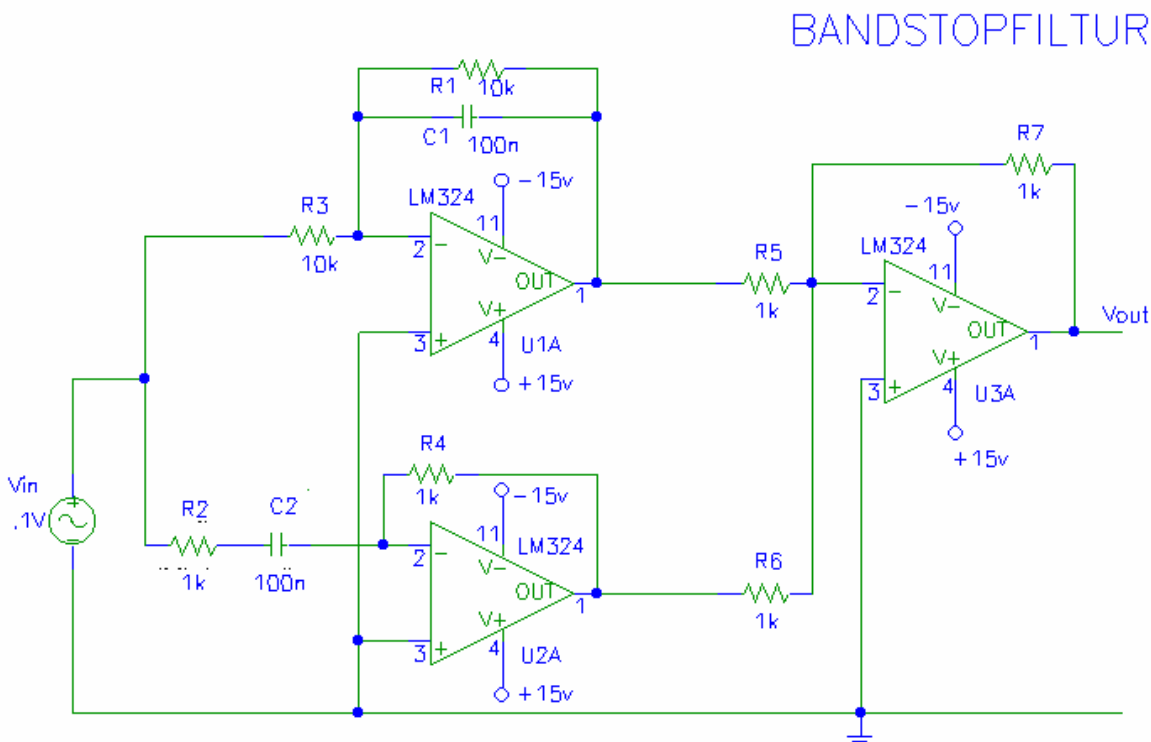
Operatiónsstyrkjarin U1A við tilhoyrandi mótstöðum R_1 , R_3 og kondensatori C_1 er settur upp sum eitt lágpasfiltrur. Tilsvandi er operatiónsstyrkjarin U2A við tilhoyrandi mótstöðum R_2 , R_4 og kondensatori C_2 settur upp sum eitt hápasfiltrur. Signalini frá útgangunum av hesum filtrum verða lögð saman í summationssuppsetingini samansett av styrkjaranum U3A og tilsvandi mótstöðum R_5 , R_6 og R_7 . Yvirføringsfunctiónin er

$$(6.1) \quad H(s) = \frac{V_{out}}{V_{in}} = \left(- \frac{R_1 \parallel (1/sC_1)}{R_3} - \frac{R_4}{R_2 + (1/sC_2)} \right) \cdot \left(- \frac{R_7}{R_5} \right)$$

Her hava vit brúkt $R_5 = R_6$. Seta vit umframt $R_5 = R_7$ kann $H(s)$ umskipast til

$$(6.2) \quad H(s) = \frac{s^2 + 2/(R_1C_1)s + 1/(R_1C_1R_2C_2)}{(s + 1/(R_1C_1)) \cdot (s + 1/(R_2C_2))} = \frac{(s - z_1) \cdot (s - z_2)}{(s + \omega_1) \cdot (s + \omega_2)} = \frac{s^2 + 2\zeta\omega_n s + \omega_n^2}{(s + \omega_1) \cdot (s + \omega_2)}$$

har $\omega_n^2 = (-z_1)(-z_2) = \omega_1 \cdot \omega_2$ og $\zeta = -(z_1 + z_2)/(2\omega_n) = (\omega_1/\omega_2)^{1/2}$

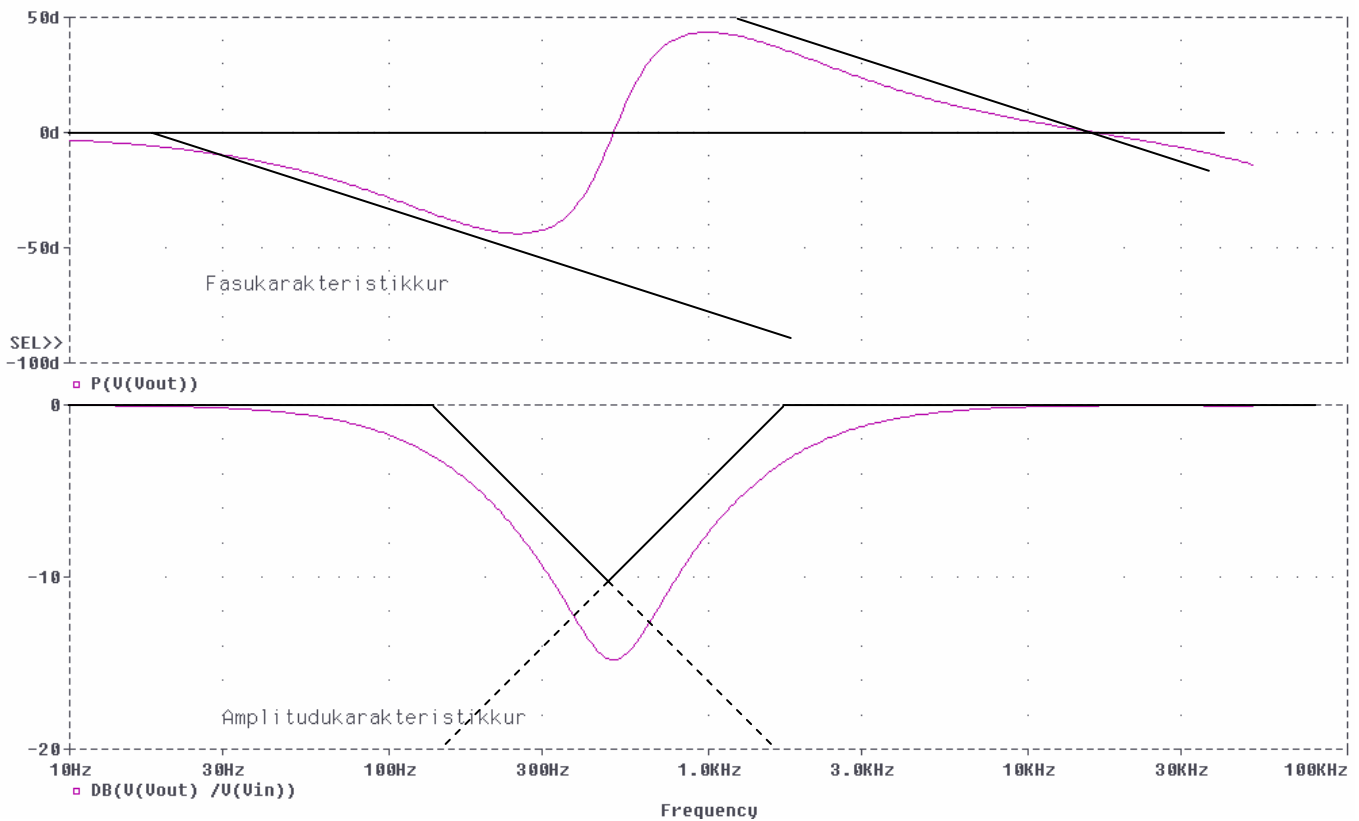


Mynd 6.1 Streymrás fyri bandstopfiltru, samansett av lágpasfiltru og hápasfiltru

Her eru tveir reellir negativir pólur: $p_1 = -\omega_1 = -1/(R_1C_1)$ og $p_2 = -\omega_2 = -1/(R_2C_2)$
og tvey kompleks nullpunkt : $z_1 = -\omega_1 + j\omega_1(\omega_2/\omega_1 - 1)^{1/2}$ og
 $z_2 = -\omega_1 - j\omega_1(\omega_2/\omega_1 - 1)^{1/2}$
við tí nummerisku stöddini $\omega_3 = |z_2| = |z_1| = (\omega_2 \cdot \omega_1)^{1/2} = \omega_n$

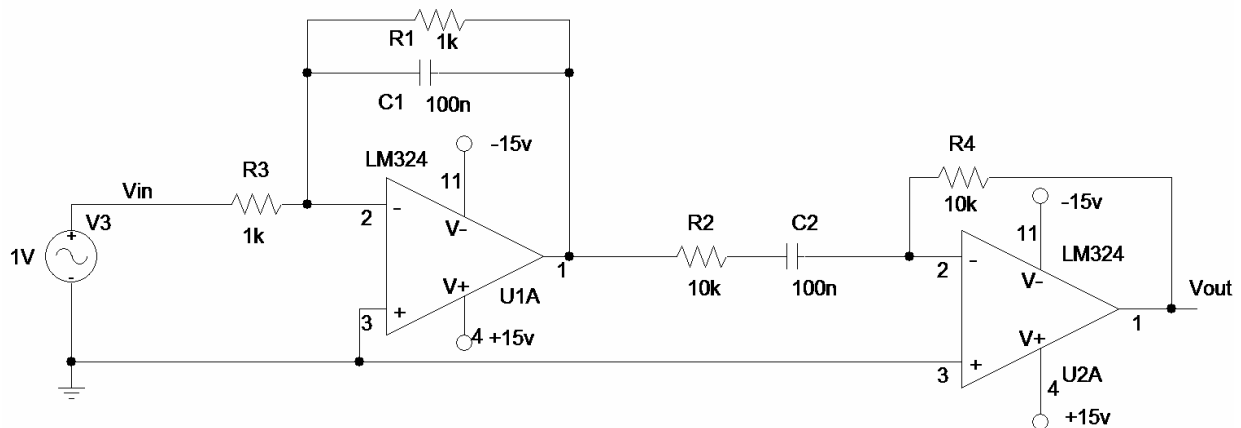
Mynd 6.2 vísir tilsvareandi fasukarakteristikk og amplitudukarakteristikk sum funktión av frekvensinum $f = \omega/(2\pi)$ við logaritmiskum f - ási við talvirðum, sum givin í myndini. Í myndina eru innteknaðir brotkurvukarakteristikkarnir, ið approksimera karakteristikkarnar. Nær við teir reellu pólfrekvensarnar hefur amplitudukarakteristikkurinn frávikið o.u. 3dB, meðan hann nær kompleksu nullpunktini hefur eitt frávík svarandi til $\zeta = (\omega_1/\omega_2)^{1/2}$.

Komponentvirðini í myndini geva hesi talúrslit: $f_1 = 159$ Hz, $f_2 = 1590$ Hz, $f_3 = 503$ Hz,
 $\zeta = 0.316$. Svarandi til hetta ζ -virðið verður kurvan at liggja $\Delta A_{dB,max} = -10 \cdot \log(4\zeta^2(1-\zeta^2)) = 4,4$ dB lægri enn skerings-punktið millum asytmoturnar (sambært formúl (15.88) í Nilsson og Riedel).



Mynd 6.2 Fasukarakteristikkur og amplitudukarakteristikkur fyri bandpassfiltur

7. Bandpassfiltrur



Mynd 7.1 Streymrás av bandpassfiltrið samansett av lágpasfiltrið og hápasfiltrið.

Í hesum døminum verður gjøgnumgingið eitt aktivt bandpassfiltrur samansett sum ein raðsamanbinding av einum lágpasfiltri og einum hápasfiltri av sløgunum viðgjørd í parti 4 og 5. Streymrásin er víst í mynd 7.1.

Operatiónsstyrkjarin U1A við tilhoyrandi mótstöðum R_1 , R_3 og kondensatori C_1 er settur upp sum eitt lágpasfiltrur. Tilsvarandi er operatiónsstyrkjarin U2A við tilhoyrandi mótstöðum R_2 , R_4 og kondensatori C_2 er settur upp sum eitt hápasfiltrur. Signalini frá útganginum av hesum filtrum verða faldað við at seta lágpas- og hápasfiltrur á rað.

Yvirføringsfunktiúnin er

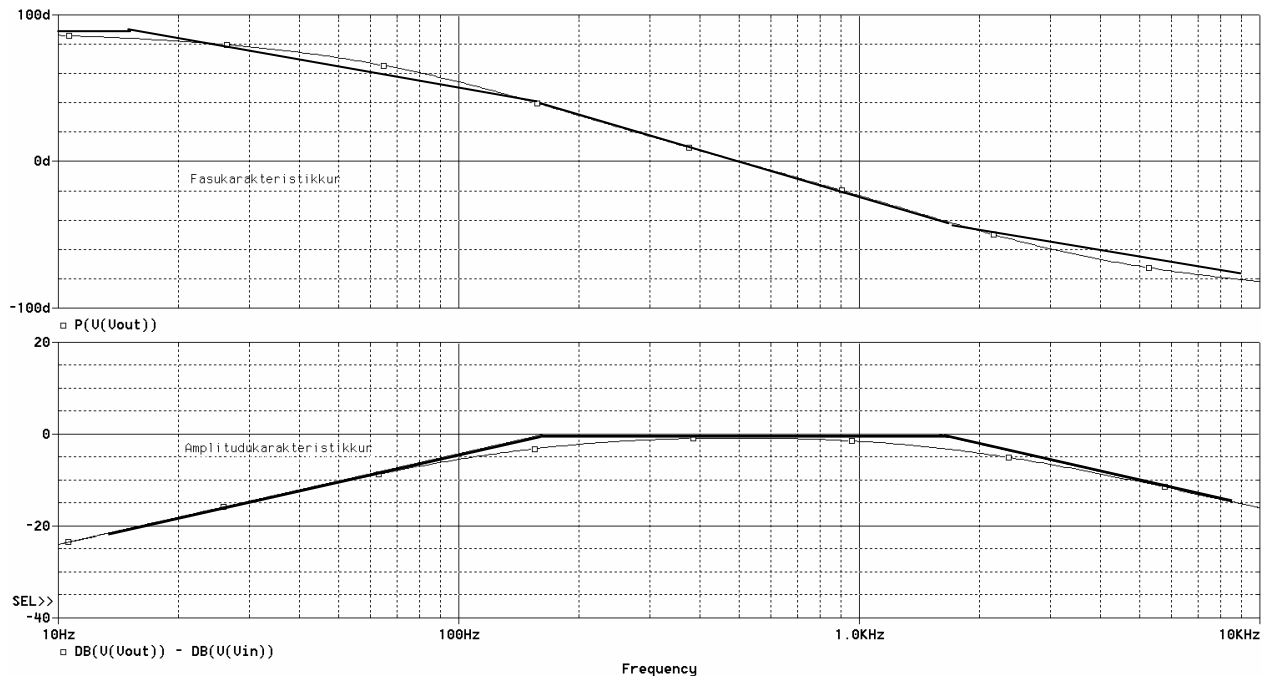
$$(7.1) \quad H(s) = \left(-\frac{R_1 \parallel \frac{1}{j\omega C_1}}{R_3}\right) \cdot \left(-\frac{R_4}{R_2 + \frac{1}{sC_2}}\right)$$

$H(s)$ kann umskipast til

$$(7.2) \quad H(s) = \frac{R_4}{C_1 R_2 R_3} \cdot \frac{s}{\left(s + \frac{1}{R_1 C_1}\right) \cdot \left(s + \frac{1}{R_2 C_2}\right)} = \frac{\omega_1 s}{(s + \omega_1) \cdot (s + \omega_2)}$$

Í síðstu umforming av hesum formuli hava vit sett $R_4 = R_2$ og $R_3 = R_1$. Her eru tveir reellir negativir polar: $s = -\omega_1 = -1/(R_1 C_1)$ og $s = -\omega_2 = -1/(R_2 C_2)$ og eitt nullpunkt: $s = 0$.

Mynd 7.2 vísir tilsvarandi fasu- og amplitudukarakteristik sum funktiún av frekvensinum $f = \omega/(2\pi)$ við logaritmiskum f – ási við talvirðum, sum givin á myndini. Í myndina eru innteknaðar brotkurvukarakteristikkarnir, ið approximera karakteristikkarnar. Nær við teir rellu pólfrekvensarnar hevir amplitudukarakteristikkur frávikið o.u.3 dB. Lagt eigur at verða til merkis, at komponentvirðini eru broytt í mun til tilsvarandi virði fyri lágpasfiltrur og hápasfiltrur í parti 4 og 5 soleiðis, at vit nú hava $f_1 > f_2$. Komponentvirðini í myndini geva hesi talúrslit fyri markfrekvensarnar (pólfrekvensarnar): $f_1 = 1590$ Hz, $f_2 = 159$ Hz



Mynd 7.2 Fasukarakteristikkur og amplitudukarakteristikkur fyri bandpassfiltr.

8. “All-pass” filtr

Í hesum fimta døminum viðvíkjandi aktivum filtrum verður víst, at í all-pass filtri er amplitudukarakteristikkurin 0 dB fyri allar frekvensir, og bert fasan skiftir við frekvensinum. Í hesum 1. ordans filtrinum skiftir fasan 180° . Eitt sovorði filtr verður gjørt við at lata $H(s)$ hava ein reellan pól p í vinstra hálvplani og eitt nummeriskt eins stórt reelt nulpunkt z í høgra hálvplani í tí kompleksa s -planinum, t.e. $|p| = |z|$.

Í mynd 8.1 er “all-pass” filtrið uppbyggt við brúk av einum operatiónsstyrkjara. Vit kunnu her uppseta knútapunktslíkningar fyri + og – inngangin hjá operatiónsstyrkjaranum:

$$(8.1) \quad \frac{V_+}{R_1} + \frac{V_+ - V_{in}}{1/(sC_1)} = 0$$

$$(8.2) \quad \frac{V_- - V_{out}}{R_2} + \frac{V_- - V_{in}}{R_2} = 0$$

Av hesum fæst yvirføringsfunktióinin

$$(8.3) \quad H(s) = \frac{V_{out}}{V_{in}} = \frac{s - 1/(R_1C_1)}{s + 1/(R_1C_1)}$$

Her er eitt positívtt nulpunkt $s = z = 1/(R_1C_1)$ og ein negativur pólur $s = p = -1/(R_1C_1)$. Tey eru avmyndað í kompleksa s -planinum í mynd 8.2.

Amplitudukarakteristikkurin er

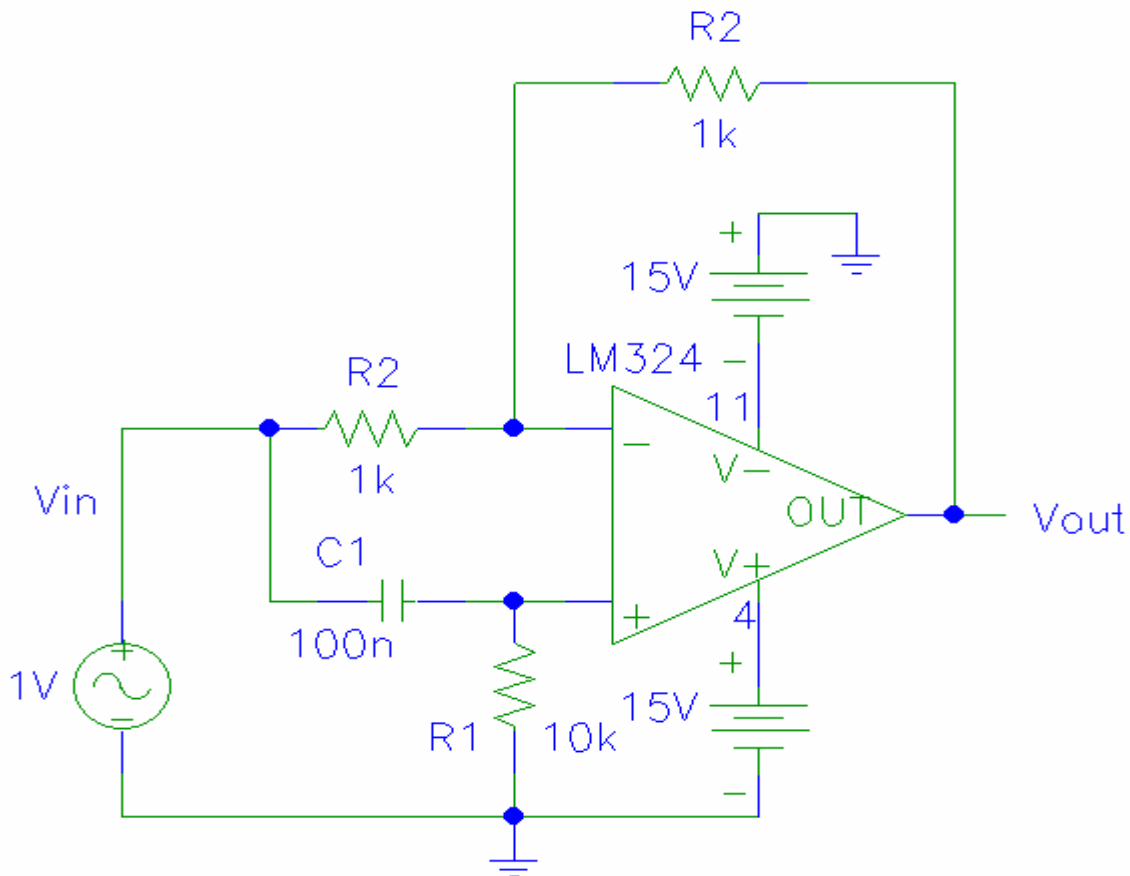
$$(8.4) \quad A(\omega) = 20 \log |H(j\omega)| = 0 \text{ dB}$$

fyrí allar frekvensir, og fasukarakteristikkurin er

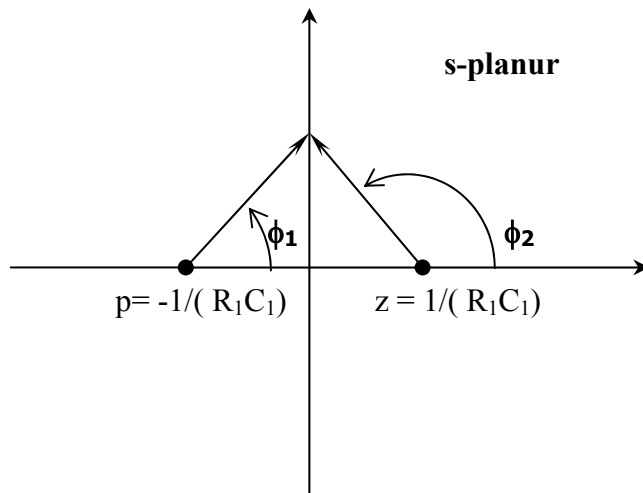
$$(8.5) \quad \begin{aligned} \angle H(j\omega) &= \phi_2 + \phi_1 = [180^\circ + \text{Arctan}(-\omega R_1 C)] - \text{Arctan}(\omega R_1 C) \\ &= 180^\circ - 2\text{Arctan}(\omega R_1 C) \end{aligned}$$

har ϕ_1 er fasan fyri pólin og ϕ_2 er fasan fyri nulpunktið. Her skal ansast eftir, tá vinkulin ϕ_2 verður útroknaður við tað, at hann liggur í intervallinum $90^\circ - 180^\circ$, sum víst er í mynd 8.2.

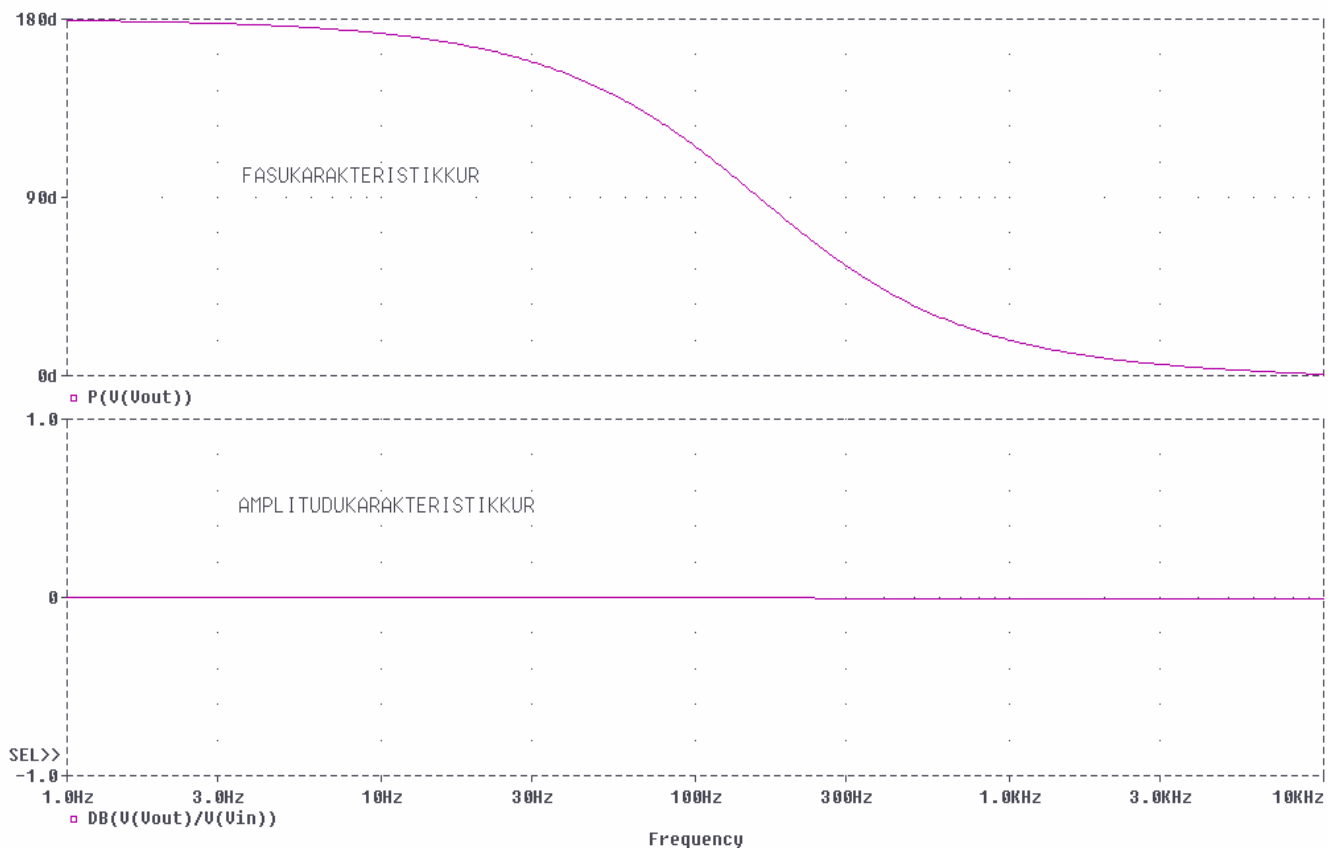
Amplitudukarakteristikkurin og fasukarakteristikkurin eru vístir í mynd 8.3, og sæst, at fasan íalt skiftir frá 180° til 0° . Sostatt gevur hetta filtrið eina reina fasubroyting uttan broyting av signalstøddini.



Mynd 8.1 Streymrás av aktivum all-passfiltri



Mynd 8.2 Komplexur s-planur, ið vísir positivt nulpunkt z og negativan pól p, og tilsvareandi fasuvinklarnar ϕ_1 og ϕ_2 , sum innganga í samlaða fasuvinkulin hjá yvurföringsfunktiönini hjá all-passfiltrinum.



Mynd 8.3 Fasu og amplitudukarakteristikkur fyri eitt all-passfiltur við einum rellum positivum nullpunkti og einum rellum negativum póli.